

## ОБ ОДНОЙ ОСОБЕННОСТИ ФУНКЦИИ ПОГЛОЩЕНИЯ ОТДЕЛЬНОЙ СПЕКТРАЛЬНОЙ ЛИНИИ С ДИСПЕРСИОННЫМ КОНТУРОМ

Д. С. Ермаков

На ряде примеров показано, что функция поглощения с дисперсионным контуром, определенная в конечном интервале спектра, имеет одно и то же значение при двух различающихся в  $m$  раз значениях полуширины линии и неизменной величине остальных аргументов этой функции. Величина спектрального интервала, в котором функция удовлетворяет вышеуказанным условиям, параметр  $m$  и другие аргументы функции поглощения определенным образом связаны между собой. Определен характер этой зависимости.

Как известно [1], в случае дисперсионного распределения, выражение для спектрального коэффициента поглощения отдельной линии при  $\nu \approx \nu_0$  и  $\nu - \nu_0 \ll \nu$  имеет вид

$$K_\nu = \frac{S}{\pi} \frac{\alpha}{(\nu - \nu_0)^2 + \alpha^2}, \quad (1)$$

где  $K_\nu$  — спектральный коэффициент поглощения на частоте  $\nu$ ,  $\nu_0$  — частота, соответствующая центру линии,  $\alpha$  — полуширина линии;  $S$  — интегральная интенсивность линии.

По определению [2, 3] функцией поглощения отдельной линии в интервале спектра  $\Delta\nu$  называется выражение

$$A = \frac{1}{\Delta\nu} \int_{\Delta\nu} [1 - \exp(-K_\nu U)] d\nu, \quad (2)$$

где  $A$  — функция поглощения,  $U$  — оптическая плотность слоя поглощающего вещества,  $K_\nu$  — спектральный коэффициент поглощения, в данном случае заданный (1). Здесь формула (2) написана в предположении, что спектральная плотность излучения используемого источника радиации постоянна в пределах интервала  $\Delta\nu$ . В дальнейшем эта формула используется нами в виде

$$A = \frac{1}{b} \int_{\Delta b'} [1 - \exp(-2X/b^2 + 1)] db, \quad (3)$$

где

$$b = (\nu - \nu_0)/\alpha, \quad X = SU/2\pi\alpha.$$

При применении формул (1) и (2) следует иметь в виду, что соответствие между значениями функции поглощения  $A$  и значениями ее аргумента  $\alpha$  взаимно неоднозначно не только в предельном случае при  $X \ll 1$  и  $b \gg 1$ , когда, как известно [2, 3]  $A$  не зависит от  $\alpha$ , но и при других значениях параметров  $X$  и  $b$ . В этом нетрудно убедиться, рассматривая рис. 1, на котором по оси абсцисс отложена величина  $b = (\nu - \nu_0)/\alpha_0$ , а по оси ординат  $A = 1 - \exp(-2X_0/b^2 + 1)$  или  $A = 1 - \exp(-2X_0 m/b^2 + m^2)$ . Кривая 1 на этом рисунке изображает контур линии поглощения с полушириной  $\alpha_0$ ,

а кривая 2 изображает ту же линию, но с полушириной  $\alpha = m\alpha_0$ , где  $m > 0$ ,  $m \neq 1$ . Обе кривые пересекаются в точках  $M_1$  и  $M_2$ . Координаты точек пересечения находятся по формулам  $b^* = \pm\sqrt{m}$ ,  $A^* = 1 - \exp(-2X_0/b + m)$ , где

$$X_0 = SU/2\pi\alpha_0. \quad (4)$$

При всех  $m > 1$  функция поглощения, определенная в интервале  $\Delta\nu \leq 2|b^*|\alpha_0$ , будет уменьшаться при увеличении  $m$ . Если же интер-

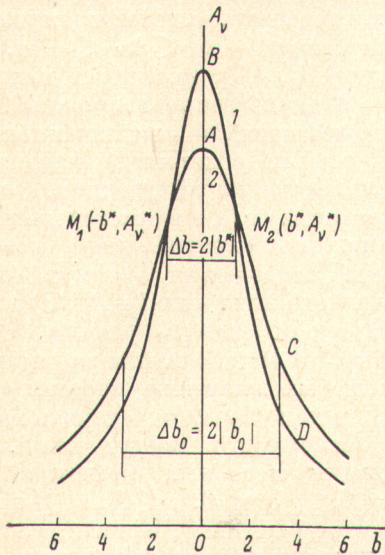


Рис. 1. Изменение контура линии поглощения при изменении ее полуширины.  
1 —  $\alpha_0$ , 2 —  $\alpha = m\alpha_0$  при  $m=1$ ,  $m > 0$ .

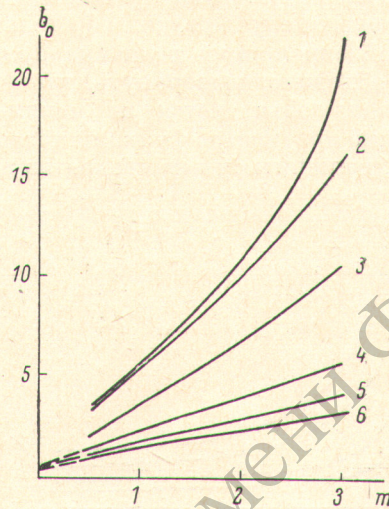


Рис. 2. Зависимость величины компенсационного спектрального интервала от параметра  $m = \alpha/\alpha_0$  при различных  $X_0$ .  
1 — 0.25, 2 — 0.3, 3 — 0.5, 4 — 1, 5 — 2, 6 — 3.

вал  $\Delta\nu$  будет возрастать и станет больше  $2|b^*|\alpha_0$ , то уменьшение функции поглощения в пределах этого интервала при заданных значениях параметров  $m$  и  $X_0$  будет компенсироваться увеличением поглощения вне этого интервала. При каком-то значении величины спектрального интервала  $\Delta\nu = \Delta\nu_0 = 2|b_0|\alpha_0$  наступит полная компенсация (рис. 1). В этом случае площади фигур  $ABM_2$  и  $M_2CD$  будут равны, следовательно,

$$A(S, U, \Delta\nu_0, \alpha_0) = A(S, U, \Delta\nu_0, \alpha = m\alpha_0). \quad (5)$$

Аналогичное явление имеет место и при  $m < 1$ . В дальнейшем спектральный интервал  $\Delta\nu_0$  будем называть компенсационным спектральным интервалом. Его относительное значение можно найти, решив уравнение

$$A(S, U, \Delta\nu_0, \alpha_0) - A(S, U, \Delta\nu_0, \alpha = m\alpha_0) = 0 \text{ или } \int_0^b [1 - \exp(-2X_0/b^2 + 1)] db - \int_0^b [1 - \exp(-2X_0m/b^2 + m^2)] db = 0 \quad (6)$$

относительно  $b$ .

В качестве примера в таблице приведены результаты расчета величины относительного изменения функции поглощения

$$\frac{\Delta A}{A} = \frac{A(S, U, \Delta\nu, \alpha_0) - A(S, U, \Delta\nu, \alpha = m\alpha_0)}{A(S, U, \Delta\nu, \alpha_0)} \quad (7)$$

$\Delta\nu = 2 b \alpha_0$	$\frac{\Delta A}{A}, \%$
2	-15.7
2.8	-13.2
5	-6.3
6.5	0
10	+7.6
20	+14.0

разных спектральных интервалах  $\Delta\nu$  при двукратном изменении полуширины линии ( $m=2$ ) и  $X_0=1.547$ .

Из данных этой таблицы следует, что функция поглощения при  $X_0=1.547$  в спектральном интервале  $\Delta\nu \approx 6.5\alpha_0$  имеет одно и то же значение при полуширине линии  $\alpha_0$  и  $\alpha=2\alpha_0$ . Очевидно, что величина параметра  $b_0$  будет одной и той же для всевозможных комбинаций параметров  $S$ ,  $U$ ,  $\alpha_0$ , при которых  $X_0=1.547$ , а относительное изменение полуширины линии (параметр  $m$ ) равно 2. Число возможных значений аргумента  $b_0$ , при котором функция  $A$  имеет одно и то же значение, определяется числом пар точек пересечения кривых 1 и 2 в интервале  $-\infty < \Delta\nu < +\infty$ . Так как в нашем случае таких пар только одна ( $M_1, M_2$ ), то следует ожидать, что найденная нами величина  $b_0$  является единственно возможной.

Необходимо подчеркнуть, что факт существования компенсационного интервала объясняется не каким-либо особым сочетанием избранных значений аргументов функции поглощения, а видом этой функции. В частности, наличием суммы квадратов аргументов  $\Delta\nu$  и  $\alpha$  в знаменателе выражения для спектрального коэффициента поглощения [формула (1)] и слагаемого вида  $\exp(-K, U)$  в (2).

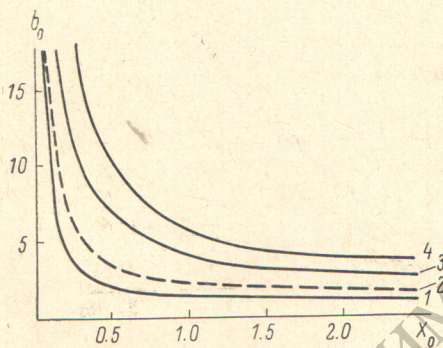


Рис. 3. Зависимость величины компенсационного спектрального интервала от параметра  $X_0$  при различных  $m$ .

1 — 0.5, 2 — 1, 3 — 2, 4 — 3.

ных  $X$  ( $X_0 < 0.4$ ) скорость роста особенно велика (рис. 3). По-видимому, можно утверждать, что при  $X \rightarrow 0$  кривые, соответствующие разным  $m$ , пересекутся с осью ординат, т. е. в этом случае  $|b_0| = \infty$ . Этот вывод подтверждается также фактом существования известного предельного соотношения для полного поглощения, т. е. выражения  $B=SU$ , получаемого

из  $B = \int_{-\infty}^{+\infty} [1 - \exp(-K, U)] d\nu$  при  $X \rightarrow 0$  [4]. При возрастании  $X_0$  (или

уменьшении  $m$ ) величина компенсационного интервала уменьшается, причем при больших  $X_0$  величина  $b_0$  слабо зависит от  $X_0$ . При  $m < 3$  и  $X_0 > 1$   $b_0$  приблизительно прямо пропорционально  $m$ . Характерно, что при  $X_0 > 1$  кривые  $b_0 = f(m)_{X_0 = \text{const}}$ , продолженные до пересечения с осью ординат, пересекают ее в одной точке с координатами  $m \approx 0$ ,  $b \approx 0.5$  (рис. 2).

Таким образом, из вышеизложенного следует, что у функции поглощения отдельной спектральной линии с дисперсионным контуром соответствие между ее значениями и значениями полуширины линии нарушено (взаимно неоднозначно). Когда функция поглощения определена в конечном интервале спектра и параметр  $X_0 > 0$ , нарушение соответствия выражается в том, что функция поглощения имеет одно и то же значение при двух различных значениях полуширины линии  $\alpha_0$  и  $\alpha = m\alpha_0$ , где  $m > 0$ ,  $m \neq 1$ . При этом величины остальных аргументов функции поглощения предполагаются неизменными. Относительная величина компенсационного спектрального интервала и величины  $X_0 = SU/2\pi\alpha_0$  и  $m = \alpha/\alpha_0$  определенным образом связаны между собой (см. кривые на рис. 2 и 3). Существенно, что все эти параметры являются безразмерными величинами.

Если  $X_0=0$ , то нарушение соответствия имеет место для любых (конечных) значений полуширины линии. В этом случае компенсационный спектральный интервал становится бесконечно большим.

Указанную особенность функции поглощения необходимо учитывать при решении различного рода спектроаналитических задач, а также при выполнении спектральных исследований, особенно в тех случаях, когда разрешаемый спектральным прибором интервал спектра соизмерим с компенсационным спектральным интервалом.

#### Литература

- [1] А. Унзольд. Физика звездных атмосфер. ИЛ, М., 1949.
- [2] К. Я. Кондратьев. Лучистый теплообмен в атмосфере. Гидрометеиздат, Л., 1956.
- [3] В. Е. Зувев. Прозрачность атмосферы для видимых и инфракрасных лучей. Изд. «Советское радио», М., 1966.
- [4] R. Ladenburg, F. Reiche. Ann. d. Phys., 42, 181, 1913.

Поступило в Редакцию 5 июля 1971 г.